

## Примерный перечень вопросов к экзамену и зачету

1. Примеры применения ускорителей в науке и технике.
2. Встречные пучки, светимость коллайдера.
3. Высоковольтные ускорители прямого действия.
4. Линейные индукционные ускорители.
5. Циклические ускорители с постоянной орбитой.
6. Циклические ускорители с переменной орбитой.
7. В чем принцип резонансного ускорения.
8. Ускоритель Альвареца.
9. Синхротроны с совмещенными и разделенными функциями магнитной структуры.  
Примеры: У-70, Бустер ИФВЭ, УНК, проект Омега в ИФВЭ.
10. Проектная орбита (*r.o. – reference orbit*) и подвижная система координат на этой орбите.
11. Коэффициент расширения орбиты.
12. Автофазировка в синхротроне, синхронная энергия и синхронная фаза, критическая энергия в синхротроне.
13. Уравнения синхротронных колебаний.
14. “Масса” и частота синхротронных колебаний.
15. Сепаратриса в продольном фазовом пространстве, продольный эмиттанс пучка и аксептанс.
16. Теорема Лиувилля в фазовом пространстве синхротронных колебаний.
17. Адиабатическое изменение параметров синхротронных колебаний.
18. Уравнения поперечного движения в синхротроне.
19. Уравнение Хилла, период магнитной структуры.
20. Слабая и сильная фокусировка.
21. Основные типы электромагнитов в синхротроне.
22. Матричный метод решения уравнения Хилла.
23. Критерий устойчивости поперечного движения.
24. Описание бетатронных колебаний посредством непрерывных бета и фазовых функций.
25. Параметры Куранта-Снайдера, матрица Твисса.
26. Частота бетатронных колебаний, фазовый эллипс.
27. Согласованные и не согласованные пучки.
28. Эмиттанс пучка и аксептанс вакуумной камеры.
29. Инвариантный (нормализованный) эмиттанс пучка.
30. Естественная хроматичность ускорителя.
31. Хроматический разброс бетатронных частот в пучке.
32. Принцип коррекции хроматичности.
33. Коррекция искажений орбиты.
34. Создание бампов орбиты.
35. Скалярный потенциал плоского магнитного поля.
36. Нормальные и косые мультиполи.
37. Краевые поля. Краевая фокусировка в диполях.
38. Нелинейные уравнения бетатронного движения в канонических переменных.
39. Суммовые и разностные бетатронные резонансы.
40. Сдвиг бетатронных частот.
41. Ширина резонанса. Биения размеров пучка. Параметрический резонанс.
42. Косой квадруполь и линейный резонанс связи.
43. Использование секступольного резонанса для медленного вывода пучка из синхротрона.
44. Зависимость сдвигов частот от амплитуд колебаний.
45. Разброс частот в пучке и системы его коррекции.
46. Влияние нормальных паразитных мультиполей на процесс медленного вывода.
47. Некогерентный кулоновский сдвиг бетатронных частот.

48. Нелинейный кулоновский разброс бетатронных частот.  
 49. Кулоновское взаимодействие сталкивающихся сгустков в коллайдере.  
 50. Ограничение светимости коллайдера.  
 51. Диффузионные процессы: кулоновское и ядерное рассеяние на остаточном газе.  
 Требование к вакууму в протонных синхротронах.

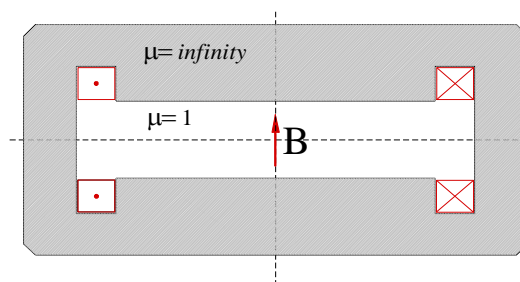
**Примеры задач, взятых из книги D.A. Edwards & M.J. Syphers “An Introduction to the Physics of High Energy Accelerators”, рассматриваемых на лекциях и предлагаемых для домашнего решения.**

1. Некоторые космические пучки протонов входят в верхние слои атмосферы с энергией протонов  $1 \text{ Дж}$  или больше. Рассчитайте разницу между скоростью света и скоростью протона с энергией  $1 \text{ Дж}$ .
2. В следующем мы будем использовать связь между относительным изменением по энергии  $\Delta E/E$  и соответствующим относительным изменением по импульсу  $\Delta p/p$ . Покажите, что

$$\frac{\Delta E}{E} = \left(\frac{v}{c}\right)^2 \frac{\Delta p}{p},$$

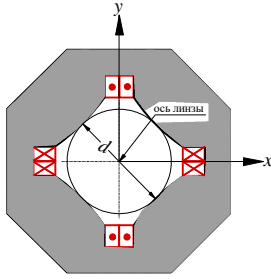
где  $v$  – скорость объекта,  $c$  – скорость света.

3. Магнитное поле Земли около  $B \sim 1$  гаусса. При какой скорости протона сила от магнитного поля  $B$  равна гравитационной силе. Рассчитайте соответствующую кинетическую энергию протона.
4. Найти магнитное поле  $B$  на оси симметрии простого дипольного магнита при условиях:
- пренебрегаем продольными краями магнита;
  - относительная магнитная проницаемость:  $\mu_{\text{полюс}} = \infty$  в полюсах,  $\mu = 1$  в камере (см. рисунок);
  - в верхней и нижней катушках заданы  $IN$  ампер-витков;
  - $h = 4.8 \text{ см}$  – межполюсное расстояние.



5. Квадрупольный магнит показан на следующем рисунке. На каждом полюсе размещается катушка, состоящая из  $N$  витков и током  $I$ . Полагаем что магнитное поле не имеет  $s$ -компоненты, т.е. магнит бесконечно длинный. При таких условиях магнитное поле может быть выражено через скалярный магнитный потенциал

$$\vec{B} = \nabla\Phi.$$



- а) В квадрупольном магните, где  $\partial B_x/\partial y = \partial B_y/\partial x = B' = \text{constant}$ , покажите что кривые постоянного  $\Phi$  – гиперболы.
- б) Поверхность каждого полюса квадрупольного магнита является эквипотенциальной поверхностью определяемой соотношением:

$$\Phi = B'xy = \text{constant}.$$

Если расстояние между полюсами  $d = 2R$  и если в железе предполагается  $\mu = \infty$ , покажите что “градиент”  $B'$  магнитного поля вдоль горизонтальной  $x$  оси и вертикальной  $y$  оси даются выражением:

$$B' = \frac{2\mu_0 NI}{R^2},$$

где  $\mu_0$  – магнитная постоянная.

6. Высокая светимость более легко получается в физике с неподвижной мишенью чем в работе коллайдера. Предположим что пучок с  $10^{11}$  протонов в секунду попадает на мишень из жидкого водорода длиной 1 м. Вычислите светимость. Плотность жидкого водорода равна  $0.07 \frac{g}{cm^3}$ . Предположим что протоны являются достаточно энергичными, что они движутся со скоростью близкой к скорости света.
7. Бетатрон ускоряет электроны до энергии 300 MeV. При радиусе орбиты 1 м вычислите поле на орбите и поток поля через орбиту при 300 MeV. Учитывая то обстоятельство, что насыщение железа магнита происходит при около 2 tesla, оцените сечение ярма магнита. Прокомментируйте реализуемость 10 GeV бетатрона.
8. Кольцо синхротрона с периметром  $P_0 = 87$  км ускоряет протоны от 2 TeV до 20 TeV в течение 1500 секунд. Ускоряющая система с амплитудой  $U_0 = 15$  MV работает с частотой  $f_{rf} = 360$  MHz. Найти синхронную фазу  $\varphi_s$  и частоту малых фазовых колебаний предполагая  $\gamma_{tr} = 105$  в приближении  $\gamma \gg \gamma_{tr}$ .
9. Выведите выражение для площади стационарного bucket<sup>a</sup>. Оцените эту площадь для протонного синхротрона с периметром  $P = 2\pi 10^3$  м, работающего с кратностью ускорения  $q = 1113$  при синхронной энергии  $E_s = 150$  GeV, с амплитудой ускоряющего поля  $U = 1$  MV и  $\gamma_{tr} = 18$ .
10. Вывести выражение для продольного эмиттанса пучка с максимальной амплитудой фазовых колебаний  $\varphi_m$  в стационарном bucket<sup>c</sup>. Используйте это выражение для оценки продольного эмиттанса банча при  $\varphi_m = 0.5$  в синхротроне предыдущей задачи.
11. Синхротрон со стационарным bucket<sup>om</sup>, т.е.  $\varphi_s = \pm\pi/2$ . Покажите что отношение частоты синхротронных колебаний частицы с фазовой амплитудой  $\varphi_m$  к частоте частицы с малыми (“нулевыми”) фазовыми колебаниями равно

$$\frac{\Omega(\varphi_m)}{\Omega(0)} \equiv \frac{\Omega(\varphi_m)}{\Omega_0} = \frac{\pi}{2} \frac{1}{K(\sin^2(\varphi_m/2))},$$

где  $K$  – полный эллиптический интеграл первого рода:

$$K(x) = \int_0^{\pi/2} (1 - x \sin^2 \theta)^{-1/2} d\theta .$$

12. Рассчитайте максимальное относительное отклонение  $\Delta E/E_s$ , которое может содержаться в стационарном бакете (*bucket*) при инжекции в протонный SSC коллайдер. При этом используйте:  $2 \text{ TeV}$  – энергия инжекции,  $8 \text{ MV}$  – RF ускоряющее напряжение,  $10^5$  – гармоническое число,  $\gamma_{tr} = 0.01$  – критическая энергия.
13. Циклический ускоритель со слабой фокусировкой представляется одним дипольным магнитом, обеспечивающим полный поворот плоской **r.o.** (*reference orbit*) на угол  $2\pi$ . Заданы:

$\rho$  – радиус кривизны **r.o.**,

$n$  – показатель спада магнитного поля на **r.o.**

$$n \equiv -\frac{\rho}{B} \frac{\partial B_y}{\partial x} .$$

Определить:

$Q_{x,y}$  – частоты бетатронных колебаний;

$\beta_{x,y}$  – бета-функции;

$D$  – дисперсионную функцию;

$\alpha$  – коэффициент расширения орбиты

14. В ускорителе (синхротроне) со “слабой фокусировкой” индекс магнитного поля  $n$  определяется как

$$n \equiv -\frac{\rho}{B} \left( \frac{\partial B_y}{\partial x} \right)_{\text{r.o.}} = -\frac{\rho}{B} G .$$

а) Показать, что уравнение движения частицы в вертикальной (аксиальной) степени свободы есть

$$\ddot{y} + \omega^2 n y = 0 ,$$

где  $\omega$  – угловая частота обращения. Таким образом, вертикальные колебания устойчивы до тех пор, пока  $n > 0$ .

б) Если проектный радиус машины есть  $R$  и радиальная координата частицы есть  $r = R + x$ , где  $x \ll R$ , показать, что уравнение движения по радиальной (горизонтальной) степени свободы есть

$$\ddot{x} + \omega^2 (1 - n)x = 0 .$$

Поэтому радиальная устойчивость требует  $n < 1$ .

Таким образом, устойчивость по обоим поперечным степеням свободы одновременно гарантирована только, если  $0 < n < 1$ .

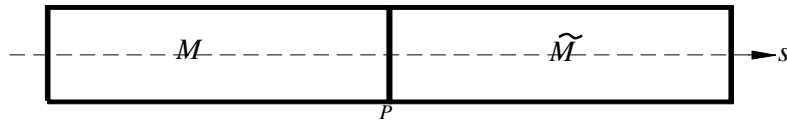
15. Рассмотрите систему, состоящую из двух тонких квадрупольных линз с одинаковыми фокусными расстояниями  $f$ , одна линза – фокусирующая, а другая – дефокусирующая, линзы разделены расстоянием  $L$ . Покажите что эта система фокусирующая, если  $|f| > L$ .
16. Предположим что частица пересекает сначала фокусирующую квадрупольную линзу с фокусным расстоянием  $F$ , за тем – свободный промежуток длиной  $L$ , за тем – дефокусирующую линзу с фокусным расстоянием  $F$ , за тем – свободный промежуток длиной  $L$ . Покажите что матрица такой системы определяется как

$$M = \begin{pmatrix} 1 - \frac{L}{F} - \left(\frac{L}{F}\right)^2 & 2L + \frac{L^2}{F} \\ -\frac{L}{F^2} & 1 + \frac{L}{F} \end{pmatrix}.$$

17. Участок магнитной структуры состоит из двух “половинок”. Матрица первой половины

$$M = \begin{pmatrix} a & b \\ c & d \end{pmatrix} \quad \text{с} \quad \det M = 1.$$

$\tilde{M}$  - матрица второй половины, магнитная структура которой зеркально симметрична структуре первой половины относительно точки симметрии  $S$ .



Найти матрицу  $\tilde{M}$ .

18. Идя от точки 1 до точки 2, вы пересекаете последовательность элементов, которая дает матрицу

$$M(1, 2) = \begin{pmatrix} a & b \\ c & d \end{pmatrix}.$$

От точки 2 до точки 3 вы проходите те же элементы, но в обратном порядке. Покажите, что матрица от 2 до 3 равна

$$M(2, 3) = \begin{pmatrix} d & b \\ c & a \end{pmatrix}.$$

19. Покажите, что амплитудная  $\beta$ -функция есть решение дифференциального уравнения

$$\beta''' + 4\beta'K + 2\beta K' = 0.$$

В пределах элемента магнитной структуры, где  $K = \text{const}$ , решение должно быть в одной из форм:

$$\beta(s) = a + bs + cs^2,$$

$$\beta(s) = a \cos(2\sqrt{K}s) + b \sin(2\sqrt{K}s) + c,$$

$$\beta(s) = a \operatorname{ch}(2\sqrt{|K|}s) + b \operatorname{sh}(2\sqrt{|K|}s) + c.$$

В каждом случае ( $K = 0, K > 0, K < 0$ ) определите  $a, b, c$  через значения  $\alpha_0$  и  $\beta_0$  в начале элемента.

20. Предположим, что частица движется вдоль проектной орбиты (*reference orbit*) и испытывает угловое отклонение  $\theta$  (например, из-за рассеяния на ядре атома молекулы остаточного газа) в точке  $s = 0$ . Покажите, что после этого движение по  $\zeta$  задается выражением

$$\zeta(s \geq 0) = \theta \sqrt{\beta(s)\beta_0} \sin \psi(s),$$

где  $\beta_0 = \beta(0)$  – амплитудная функция в точке отклонения и фаза  $\psi(s)$  измеряется от точки отклонения, т.е.  $\psi(0) = 0$ .

21. Показать, что набег фазы от точки  $s_1$  до точки  $s_2$  через участок, описываемый матрицей  $M(s_2|s_1)$  в кольце или канале, дается выражением

$$\operatorname{tg} \Delta\mu = \frac{m_{12}}{\beta_1 m_{11} - \alpha_1 m_{12}},$$

где  $m_{ij}$  – элементы матрицы  $M(s_2|s_1) \equiv \begin{pmatrix} m_{11} & m_{12} \\ m_{21} & m_{22} \end{pmatrix}$  и  $\beta_1, \alpha_1$  – значения параметров  $\beta, \alpha$  в точке  $s_1$ .

22. Для достижения большой светимости в ускорителе со сталкивающимися пучками амплитудная  $\beta$  функция делается малой в точке IP, где пучки приводятся в столкновение. Длина детектора, занимающего эту прямолинейную секцию, будет больше по сравнению с величиной  $\beta$  в точке IP взаимодействия. Покажите, что набег фазы на этой прямолинейной секции будет приблизительно равен  $180^\circ$ .

23. Покажите, что в кольце синхротрона  $J(s_0)^2 = -I$ , а  $n$  оборотов кольца задаются матрицей

$$M^n = I \cos(n\mu_0) + J(s_0) \sin(n\mu_0)$$

Напомним, что  $J(s_0) \equiv \begin{pmatrix} \alpha(s_0) & \beta(s_0) \\ -\gamma(s_0) & -\alpha(s_0) \end{pmatrix}$  в начальной точке  $s_0$  кольца и  $\mu_0$  – набег фазы на всем кольце.

24. Предположим, что существует много некоррелированных угловых отклонений распределенных по кольцу с нулевым средним и rms величиной  $\theta_{\text{rms}}$ . Покажите, что rms (по ансамблю синхротронов) искажение орбиты в некоторой точке наблюдения, где амплитудная функция равна  $\beta_0$ , определяется выражением

$$\begin{aligned} \langle x^2 \rangle^{1/2} &= \frac{\beta_0^{1/2}}{2|\sin(\pi Q)|} \left( \sum_i \theta_{\text{rms}}^2 \beta_i \sin^2(\pi Q - \mu_i) \right)^{1/2} \\ &= \frac{(\beta_0 \bar{\beta})^{1/2}}{2\sqrt{2}|\sin(\pi Q)|} N^{1/2} \theta_{\text{rms}}, \end{aligned}$$

где  $\bar{\beta}$  – среднее значение амплитудной функции по  $N$  локальным угловым отклонениям. При переходе от первого выражения ко второму пренебрегли величинами порядка 1 по сравнению с  $N$ ; во многих случаях вторая оценка является хорошим приближением.

25. Орбиты могут корректироваться и подстраиваться, используя т.н. управляющие (*steering*) диполи. Один из стандартных алгоритмов основан на т.н. “трех ударах (*three bumps*)”. Локальное искажение орбиты может быть сделано тремя *steering* диполями. Пусть три угла отклонения  $\theta_1, \theta_2, \theta_3$ , создаются соответственно последовательно расположенными *steering* диполями. Покажите, что если эти углы созданы согласно соотношениям:

$$\theta_2 = -\theta_1 \sqrt{\frac{\beta_1}{\beta_2}} \frac{\sin \psi_{13}}{\sin \psi_{23}} \quad \text{и} \quad \theta_3 = \theta_1 \sqrt{\frac{\beta_1}{\beta_3}} \frac{\sin \psi_{12}}{\sin \psi_{23}},$$

где  $\psi_{ij}$  – набег бетатронной фазы по r.o. между  $i^{\text{блм}}$  и  $j^{\text{блм}}$  *steering* диполями, тогда искажение орбиты будет локализовано между такими первым и третьим *steering* диполями.

26. Предположим, что дополнительный квадруполь с пренебрежимо малой длины  $l$  и силой  $q \equiv B'l/(B\rho)$  размещается в кольце синхротрона в точке, где амплитудная функция имеет величину  $\beta_1$ . Предположим, что до этой точки амплитудная функция не возмущена. Покажите, что после квадруполя частичное отклонение  $\beta$  определяется выражением

$$\frac{\Delta\beta}{\beta} \equiv \frac{\beta(s) - \beta_0(s)}{\beta_0(s)} = -q\beta_1 \sin(2\mu_0) + \frac{1}{2}(q\beta_1)^2 (1 - \cos(2\mu_0)),$$

где  $\beta_0(s)$  – исходная невозмущенная амплитудная функция, и исходная фаза  $\mu_0(s)$  – измеряется от положения квадруполя.

27. Для существенно малых локальным квадрупольных возмущений  $q_i \equiv (\Delta B')_i l / (B\rho)$  относительное отличие амплитудной функции подчиняется правилам аналогичным искажениям орбиты из-за дипольных возмущений. Покажите, что rms относительное отличие  $\beta$ -функции, связанное с квадрупольными отклонениями  $q_i$  определяется выражением

$$\left(\frac{\Delta\beta}{\beta}\right)_{\text{rms}} = \frac{1}{2\sqrt{2} |\sin(2\pi Q)|} \left\langle \sum_i q_i \beta_i^2 \right\rangle^{1/2},$$

где  $\beta_i$  невозмущенная (исходная) амплитудная функция в  $i$ -ой локальной точке нахождения  $q_i$ .

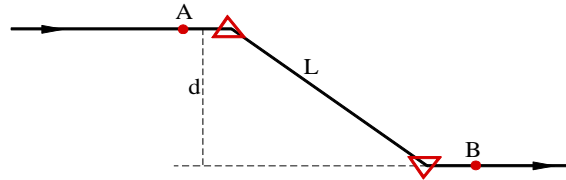
28. Для простого синхротрона с FODO магнитной структурой проверьте, что  $\gamma_{tr}$  критическая энергия (*transition gamma*) приблизительно равна  $Q_x$ .
29. Локальное угловое отклонение  $\theta$  орбиты, вызванное локальным дипольным возмущением магнитного поля, создает в синхротроне новую замкнутую орбиту, длина которой отличается от идеальной орбиты (исходной, т.е. **и.о.**) на  $\Delta C$ . Покажите, что

$$\Delta C = \theta \cdot D,$$

где  $D$  – дисперсионная функция в точке локализации  $\theta$ .

30. Для простого синхротрона с FODO магнитной структурой проверьте, что хроматичность  $\vec{\xi}$  такого синхротрона примерно равна по величине и противоположна по знаку бетатронной частоте  $\vec{Q}$ , т.е.  $\vec{\xi} \approx -\vec{Q}$ , если только элементы, вносящие вклад в хроматичность, – это основные квадрупольные магнитной структуры.

31. На следующем рисунке показан участок магнитной структуры, носящий т.н. название “*dogleg*”, где треугольниками показаны локальные диполи с соответствующими направлениями магнитного поля.



Если дисперсионная функция в точке А равна  $D = D' = 0$ , какая дисперсионная функция будет в точке В ?, (предполагается что  $\theta = d/L \ll 1$ ).